

# Starkniederschlagshöhen und -spenden gemäß KOSTRA-DWD-2020

## Rasterfeld 183138

(Zeile 183, Spalte 138)

### Regenspende und Bemessungsniederschlagswerte in Abhängigkeit von Wiederkehrzeit T und Dauerstufe D

| Dauerstufe D |     | Wiederkehrzeit T |            |      |            |       |            |       |            |       |            |       |            |       |            |       |            |       |            |
|--------------|-----|------------------|------------|------|------------|-------|------------|-------|------------|-------|------------|-------|------------|-------|------------|-------|------------|-------|------------|
|              |     | 1 a              |            | 2 a  |            | 3 a   |            | 5 a   |            | 10 a  |            | 20 a  |            | 30 a  |            | 50 a  |            | 100 a |            |
| min          | Std | mm               | l / (s ha) | mm   | l / (s ha) | mm    | l / (s ha) | mm    | l / (s ha) | mm    | l / (s ha) | mm    | l / (s ha) | mm    | l / (s ha) | mm    | l / (s ha) | mm    | l / (s ha) |
| 5            |     | 6,8              | 226,7      | 8,3  | 276,7      | 9,2   | 306,7      | 10,4  | 346,7      | 12,2  | 406,7      | 14,0  | 466,7      | 15,2  | 506,7      | 16,7  | 556,7      | 18,9  | 630,0      |
| 10           |     | 9,1              | 151,7      | 11,1 | 185,0      | 12,4  | 206,7      | 14,0  | 233,3      | 16,4  | 273,3      | 18,8  | 313,3      | 20,4  | 340,0      | 22,5  | 375,0      | 25,4  | 423,3      |
| 15           |     | 10,6             | 117,8      | 13,0 | 144,4      | 14,4  | 160,0      | 16,3  | 181,1      | 19,1  | 212,2      | 21,9  | 243,3      | 23,7  | 263,3      | 26,2  | 291,1      | 29,6  | 328,9      |
| 20           |     | 11,8             | 98,3       | 14,3 | 119,2      | 16,0  | 133,3      | 18,1  | 150,8      | 21,1  | 175,8      | 24,2  | 201,7      | 26,3  | 219,2      | 29,0  | 241,7      | 32,8  | 273,3      |
| 30           |     | 13,5             | 75,0       | 16,4 | 91,1       | 18,3  | 101,7      | 20,7  | 115,0      | 24,2  | 134,4      | 27,8  | 154,4      | 30,1  | 167,2      | 33,2  | 184,4      | 37,6  | 208,9      |
| 45           |     | 15,4             | 57,0       | 18,7 | 69,3       | 20,8  | 77,0       | 23,6  | 87,4       | 27,6  | 102,2      | 31,6  | 117,0      | 34,3  | 127,0      | 37,8  | 140,0      | 42,8  | 158,5      |
| 60           | 1   | 16,8             | 46,7       | 20,5 | 56,9       | 22,8  | 63,3       | 25,8  | 71,7       | 30,1  | 83,6       | 34,6  | 96,1       | 37,6  | 104,4      | 41,4  | 115,0      | 46,9  | 130,3      |
| 90           | 1,5 | 19,0             | 35,2       | 23,2 | 43,0       | 25,8  | 47,8       | 29,2  | 54,1       | 34,1  | 63,1       | 39,2  | 72,6       | 42,5  | 78,7       | 46,9  | 86,9       | 53,1  | 98,3       |
| 120          | 2   | 20,8             | 28,9       | 25,3 | 35,1       | 28,2  | 39,2       | 31,9  | 44,3       | 37,3  | 51,8       | 42,8  | 59,4       | 46,4  | 64,4       | 51,1  | 71,0       | 57,9  | 80,4       |
| 180          | 3   | 23,5             | 21,8       | 28,6 | 26,5       | 31,8  | 29,4       | 36,0  | 33,3       | 42,1  | 39,0       | 48,3  | 44,7       | 52,4  | 48,5       | 57,7  | 53,4       | 65,4  | 60,6       |
| 240          | 4   | 25,5             | 17,7       | 31,2 | 21,7       | 34,7  | 24,1       | 39,2  | 27,2       | 45,8  | 31,8       | 52,6  | 36,5       | 57,1  | 39,7       | 62,9  | 43,7       | 71,3  | 49,5       |
| 360          | 6   | 28,8             | 13,3       | 35,1 | 16,3       | 39,1  | 18,1       | 44,2  | 20,5       | 51,7  | 23,9       | 59,3  | 27,5       | 64,3  | 29,8       | 70,9  | 32,8       | 80,3  | 37,2       |
| 540          | 9   | 32,4             | 10,0       | 39,6 | 12,2       | 44,0  | 13,6       | 49,8  | 15,4       | 58,2  | 18,0       | 66,8  | 20,6       | 72,5  | 22,4       | 79,9  | 24,7       | 90,5  | 27,9       |
| 720          | 12  | 35,3             | 8,2        | 43,1 | 10,0       | 47,9  | 11,1       | 54,2  | 12,5       | 63,3  | 14,7       | 72,7  | 16,8       | 78,9  | 18,3       | 86,9  | 20,1       | 98,5  | 22,8       |
| 1080         | 18  | 39,8             | 6,1        | 48,5 | 7,5        | 53,9  | 8,3        | 61,1  | 9,4        | 71,3  | 11,0       | 81,9  | 12,6       | 88,8  | 13,7       | 97,9  | 15,1       | 110,9 | 17,1       |
| 1440         | 24  | 43,2             | 5,0        | 52,8 | 6,1        | 58,7  | 6,8        | 66,4  | 7,7        | 77,6  | 9,0        | 89,1  | 10,3       | 96,6  | 11,2       | 106,5 | 12,3       | 120,6 | 14,0       |
| 2880         | 48  | 52,9             | 3,1        | 64,6 | 3,7        | 71,8  | 4,2        | 81,3  | 4,7        | 95,0  | 5,5        | 109,1 | 6,3        | 118,3 | 6,8        | 130,4 | 7,5        | 147,7 | 8,5        |
| 4320         | 72  | 59,6             | 2,3        | 72,7 | 2,8        | 80,9  | 3,1        | 91,5  | 3,5        | 106,9 | 4,1        | 122,8 | 4,7        | 133,2 | 5,1        | 146,8 | 5,7        | 166,3 | 6,4        |
| 5760         | 96  | 64,8             | 1,9        | 79,1 | 2,3        | 87,9  | 2,5        | 99,5  | 2,9        | 116,3 | 3,4        | 133,5 | 3,9        | 144,8 | 4,2        | 159,6 | 4,6        | 180,8 | 5,2        |
| 7200         | 120 | 69,2             | 1,6        | 84,4 | 2,0        | 93,8  | 2,2        | 106,2 | 2,5        | 124,1 | 2,9        | 142,5 | 3,3        | 154,6 | 3,6        | 170,4 | 3,9        | 193,0 | 4,5        |
| 8640         | 144 | 73,0             | 1,4        | 89,0 | 1,7        | 99,0  | 1,9        | 112,0 | 2,2        | 130,9 | 2,5        | 150,3 | 2,9        | 163,0 | 3,1        | 179,7 | 3,5        | 203,5 | 3,9        |
| 10080        | 168 | 76,3             | 1,3        | 93,1 | 1,5        | 103,5 | 1,7        | 117,2 | 1,9        | 136,9 | 2,3        | 157,2 | 2,6        | 170,5 | 2,8        | 187,9 | 3,1        | 212,9 | 3,5        |

# Starkniederschlagshöhen und -spenden gemäß KOSTRA-DWD-2020

## Rasterfeld 183138

(Zeile 183, Spalte 138)

### Örtliche Unsicherheiten in Abhängigkeit von Wiederkehrzeit T und Dauerstufe D

| Dauerstufe D |     | Wiederkehrzeit T |     |     |     |      |      |      |      |       |
|--------------|-----|------------------|-----|-----|-----|------|------|------|------|-------|
|              |     | 1 a              | 2 a | 3 a | 5 a | 10 a | 20 a | 30 a | 50 a | 100 a |
| min          | Std | ± %              | ± % | ± % | ± % | ± %  | ± %  | ± %  | ± %  | ± %   |
| 5            |     | 11               | 12  | 13  | 13  | 14   | 14   | 14   | 15   | 15    |
| 10           |     | 15               | 16  | 17  | 18  | 18   | 19   | 19   | 20   | 20    |
| 15           |     | 17               | 19  | 19  | 20  | 21   | 22   | 22   | 22   | 23    |
| 20           |     | 18               | 20  | 21  | 21  | 22   | 23   | 23   | 24   | 24    |
| 30           |     | 20               | 21  | 22  | 22  | 23   | 24   | 24   | 25   | 25    |
| 45           |     | 20               | 21  | 22  | 23  | 24   | 24   | 25   | 25   | 26    |
| 60           | 1   | 20               | 21  | 22  | 23  | 24   | 24   | 25   | 25   | 26    |
| 90           | 1,5 | 19               | 21  | 22  | 22  | 23   | 24   | 24   | 25   | 25    |
| 120          | 2   | 19               | 20  | 21  | 22  | 23   | 23   | 24   | 24   | 24    |
| 180          | 3   | 18               | 19  | 20  | 21  | 22   | 22   | 23   | 23   | 24    |
| 240          | 4   | 17               | 18  | 19  | 20  | 21   | 22   | 22   | 22   | 23    |
| 360          | 6   | 16               | 17  | 18  | 19  | 20   | 20   | 21   | 21   | 22    |
| 540          | 9   | 15               | 16  | 17  | 18  | 19   | 19   | 20   | 20   | 20    |
| 720          | 12  | 15               | 16  | 16  | 17  | 18   | 18   | 19   | 19   | 20    |
| 1080         | 18  | 14               | 15  | 15  | 16  | 17   | 17   | 18   | 18   | 19    |
| 1440         | 24  | 14               | 15  | 15  | 16  | 16   | 17   | 17   | 17   | 18    |
| 2880         | 48  | 13               | 14  | 14  | 15  | 15   | 16   | 16   | 16   | 17    |
| 4320         | 72  | 14               | 14  | 14  | 14  | 15   | 15   | 16   | 16   | 16    |
| 5760         | 96  | 14               | 14  | 14  | 15  | 15   | 15   | 15   | 16   | 16    |
| 7200         | 120 | 15               | 15  | 15  | 15  | 15   | 15   | 15   | 16   | 16    |
| 8640         | 144 | 15               | 15  | 15  | 15  | 15   | 15   | 16   | 16   | 16    |
| 10080        | 168 | 16               | 15  | 15  | 15  | 15   | 16   | 16   | 16   | 16    |

### Parameter für abweichende T und D

#### Lokationsparameter $\xi$ (Xi)

17,1456817

#### Skalenparameter $\alpha$ (Alpha)

5,24838847

#### Formparameter $\kappa$ (Kappa)

-0,1

#### 1. Koutsoyiannis-Parameter $\theta$ (Theta)

0,02755904

#### 2. Koutsoyiannis-Parameter $\eta$ (Eta)

0,70846049

Parameter für dauerstufenübergreifende Extremwertschätzung nach KOUTSOYIANNIS et al. 1998.

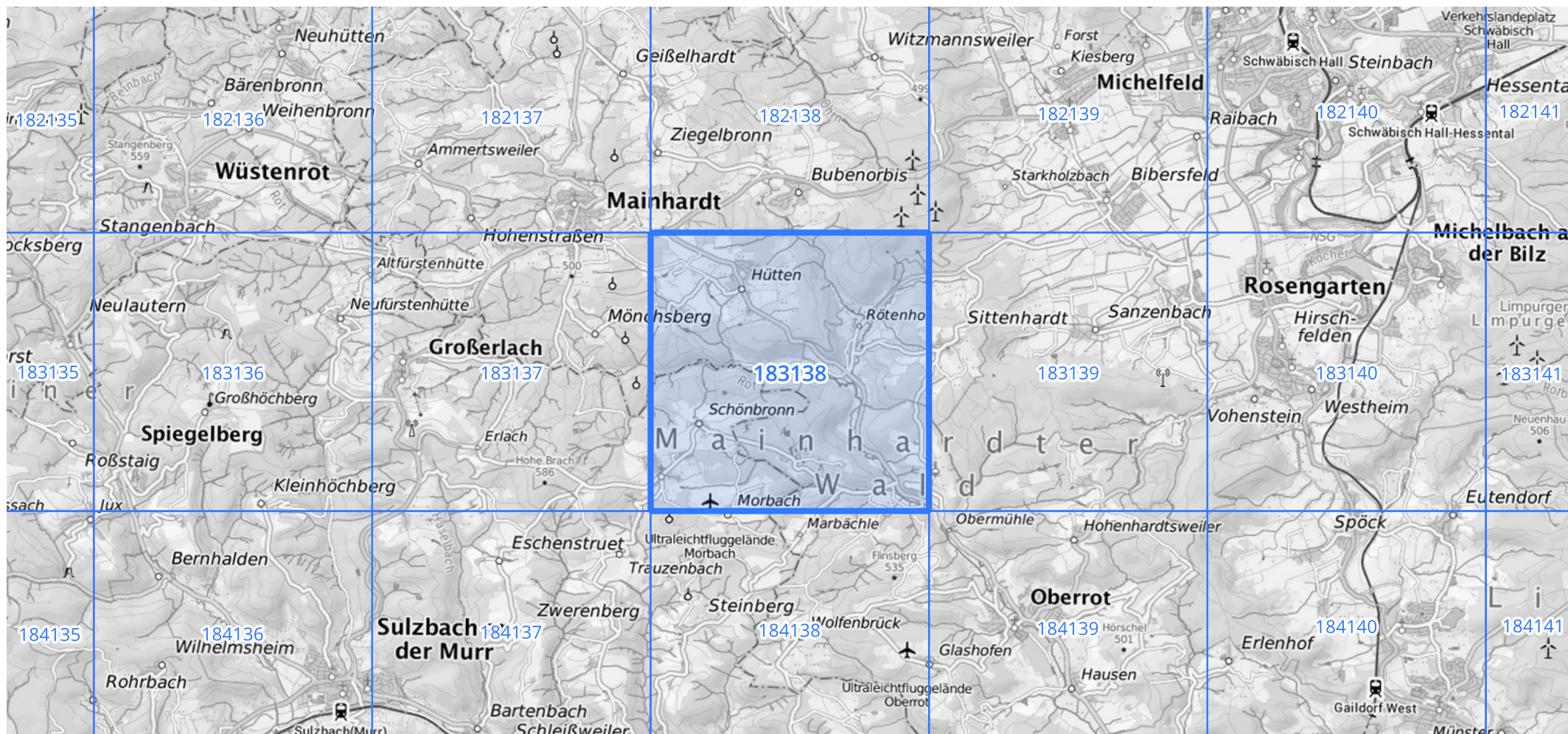
Siehe auch Anwendungshilfe zu KOSTRA-DWD-2020 des Deutschen Wetterdienstes.

# Starkniederschlagshöhen und -spenden gemäß KOSTRA-DWD-2020

## Rasterfeld 183138

(Zeile 183, Spalte 138)

Übersichtskarte des Rasterfeldes 183138, M 1 : 100 000



Quelle Rasterdaten: KOSTRA-DWD-2020 des Deutschen Wetterdienstes, Stand 12/2022.

Seite 3 von 3

Kartendarstellung: © Bundesamt für Kartographie und Geodäsie (2023), Datenquellen: [https://sgx.geodatenzentrum.de/web\\_public/gdz/datenquellen/Datenquellen\\_TopPlusOpen.html](https://sgx.geodatenzentrum.de/web_public/gdz/datenquellen/Datenquellen_TopPlusOpen.html)

Für die Richtigkeit und Aktualität der Angaben wird keine Gewähr übernommen. Erstellt 01/2023.